

## 工作简讯

### $\gamma$ 闪烁谱仪测定 $^{235}\text{U}$ 含量

王德民 朱芝仙 徐通敏 邓坤杰

(北京大学技术物理系)

#### 一、引言

用 $\gamma$ 闪烁谱仪测定经过浓集或贫化的天然铀中的 $^{235}\text{U}$ 含量，虽然准确度不如质谱方法，但有其长处，如仪器简单，实验方法容易掌握等。随着半导体探测器的发展，还可以进一步提高准确度<sup>[1]</sup>。

可以选择 $^{235}\text{U}$ 的184千电子伏 $\gamma$ 射线来比较浓集（或贫化）铀样品与天然铀样品（当作参比样品）\*的 $\gamma$ 射线强度，将其比值（我们称丰度比）乘以天然铀（或已知含量的参比样品）中 $^{235}\text{U}$ 含量，就可求得浓集（或贫化）样品中 $^{235}\text{U}$ 的含量。

本工作在文献[2]的基础上作了如下改进：(1) 原先用重铀酸铵形式灼烧成的 $\text{U}_3\text{O}_8$ 呈不规则硬块，很不易碾成细粉，因而就无法做到使待测样品源与参比样品源尽可能平行一致。本工作采取8-羟基喹啉作铀的沉淀剂，灼烧后的 $\text{U}_3\text{O}_8$ 非常松软，易形成均匀的细粉末；(2) 本工作对样品盘的几何平行性及装源的平行性采取了严格的控制，从而减少了误差；(3) 在测量方法上用积分轮换计数方法代替了原先比较面积的方法，使得手续简便、误差减少；(4) 在去 $^{234}\text{Th}$ 问题上作了进一步的条件实验。改进后使分析结果的误差从1.5%减到0.43%。

#### 二、实 验

**1. 仪器和试剂** 单晶 $\gamma$ 谱仪，探头用 $\phi 50 \times 50$ 毫米NaI(Tl)晶体连接聚焦型光电倍增管，对 $^{137}\text{Cs}$   $\gamma$ 射线分辨率为12%。整个探头放在5厘米厚的铅室中以减少本底。所用化学试剂均为分析纯。

**2. 源的制备** 先用离子交换法去除样品中的铀子体( $^{234}\text{Th}$ ,  $^{234}\text{Pa}$ 等)，采用国产732型( $\times 8$ ) $\text{H}^+$ 型阳离子交换树脂，柱径13毫米，柱高120毫米。将天然铀样品及待测样品转换成 $\text{pH} \approx 3$ 的铀酰溶液，上柱吸附，用蒸馏水洗涤，然后用0.6N HCl解吸 $\text{UO}_2^{2+}$ ，流速为2毫升/分。铀被解吸的完全度用 $\text{K}_4[\text{Fe}(\text{CN})_6]$ 或铀试剂Ⅲ检查。留在柱子上的铀子体用约10倍柱体积的6N HCl把它们淋洗下来，再用蒸馏水将树脂洗至中性以待再用。经过几次实验后，树脂要用酸、碱反复处理三次使之再生。

\* 当待测样品 $^{235}\text{U}$ 丰度偏离天然铀丰度较大时，则应取丰度接近的参比样品进行对比测量，才不致增加误差。

去子体后的铀溶液，加热至 $80^{\circ}\text{C}$ ，加入8-羟基喹啉1克，加浓氨水，调 $\text{pH}=8\sim9$ ，此时产生大量疏松状桔红色的 $[\text{UO}_2(\text{OX})_2]_2 \cdot \text{HOX}$ 沉淀，经加热老化后过滤、烘干、灰化，最后在马弗炉( $850^{\circ}\sim900^{\circ}\text{C}$ )中灼烧1小时，即得很松软的黑色 $\text{U}_3\text{O}_8$ ，再仔细研成粉末。

为了降低测量误差，对有机玻璃制成的测量盘，用螺旋测微器将其内径、外径及盘底厚度严格检查，挑选数据相同者使用。称取一定量 $\text{U}_3\text{O}_8$ (0.4000~0.5000克)装入合格

的测量盘中，上面盖上与测量盘内径密合的有机玻璃片，再插入圆柱形小铁柱在台钳上均匀压紧，如图1、2所示。至此即可用于测量。

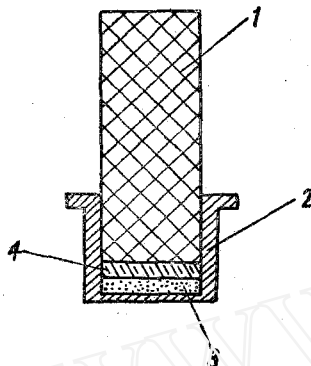


图1 压源情况  
1—铁柱；2—有机玻璃盘；3—  
 $\text{U}_3\text{O}_8$ 粉末；4—有机玻璃盖。

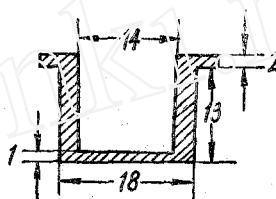


图2 测量盘形状

全部过程要求在8~10小时内完成，此时新生成的 $^{234}\text{Th}$ 约为1%左右，对测量结果无影响。

**3. 测量方法及实验结果** 在 $\gamma$ 谱仪探头上装置一个圆环，以固定样品盘的位置。将谱仪阈值定在天然铀 $\gamma$ 能谱的94千电子伏与184千电子伏两峰之间的谷处(25伏)，道宽20伏，这样基本上记录的都是 $^{235}\text{U}$ 的184千电子伏 $\gamma$ 射线。

(1) 平行性实验。用天然铀经过相同的平行的化学操作制成两个(也可三、四个)源(400~500毫克)进行轮换计数，每源测5分钟，约8000计数。为了不使统计误差太大，每源一般轮测50~70次(总计数约50万)。轮测的原因，一是因 $^{234}\text{Th}$ 在不断增长，如果将一个源连续测 $50\times5$ 分钟后，再测第二个源(或第三、第四个源)，则势必后测的源的计数要比先测的源计数为大；二是仪器长时间的严格保持稳定比较困难，而轮测就可减少各个源彼此的比值的误差，因而更接近理论值(1.000)。我们用上述方法经过65遍重复实验，结果见表1，两源测量结果的比值为 $1.0007\pm0.0043$ 。这样，每一遍的标准误差为0.43%。这里的误差包括了全部的化学操作，源的几何位置，仪器不稳定性和核蜕变统计涨落等方面的误差因素。实验结果还表明，这些误差服从统计分布。

(2) 自身比实验。将一个源进行5分钟一次计数，转动位置，重复100次，然后将1,3,5,...,99奇数组的累计数与2,4,6,...,100偶数组的累计数比，理论上应为1.000。这样的实验我们做了100遍，结果为 $0.999\pm0.0039$ ，每一遍的标准误差为0.39%。这个实验的误差只包括了仪器的不稳定性，几何位置及放射性统计误差，它比前述实验的误差小些，自然是合理的。

(3) 浓集铀样品的测定。按上述(1)的办法对几种浓集铀样品进行了测量，结果见

表 1 去钍后  $U_3O_8$  源的平行性实验结果\*

| 遍 次 | 两源计数的比值 |
|-----|---------|-----|---------|-----|---------|-----|---------|
| 1   | 1.0033  | 18  | 1.0045  | 35  | 0.9930  | 52  | 1.0053  |
| 2   | 0.9952  | 19  | 1.0050  | 36  | 0.9960  | 53  | 1.0006  |
| 3   | 0.9952  | 20  | 1.0042  | 37  | 0.9959  | 54  | 1.0037  |
| 4   | 1.0000  | 21  | 1.0005  | 38  | 1.0067  | 55  | 1.0053  |
| 5   | 0.9992  | 22  | 1.0030  | 39  | 1.0100  | 56  | 1.0030  |
| 6   | 0.9995  | 23  | 1.0050  | 40  | 0.9988  | 57  | 1.0047  |
| 7   | 0.9988  | 24  | 0.9975  | 41  | 0.9942  | 58  | 1.0016  |
| 8   | 1.0017  | 25  | 1.0070  | 42  | 0.9968  | 59  | 1.0039  |
| 9   | 0.9958  | 26  | 1.0102  | 43  | 0.9938  | 60  | 0.9937  |
| 10  | 1.0065  | 27  | 1.0032  | 44  | 1.0083  | 61  | 0.9939  |
| 11  | 1.0070  | 28  | 1.0019  | 45  | 0.9994  | 62  | 1.0060  |
| 12  | 1.0014  | 29  | 0.9999  | 46  | 0.9992  | 63  | 0.9995  |
| 13  | 1.0038  | 30  | 0.9953  | 47  | 0.9983  | 64  | 0.9980  |
| 14  | 1.0052  | 31  | 0.9972  | 48  | 0.9951  | 65  | 0.9989  |
| 15  | 0.9979  | 32  | 1.0015  | 49  | 0.9963  |     |         |
| 16  | 1.0056  | 33  | 0.9971  | 50  | 0.9935  |     |         |
| 17  | 1.0012  | 34  | 0.9976  | 51  | 1.0000  |     |         |

计算结果:  $1.0007 \pm 0.0043$ , 每遍标准误差  $\sigma = \pm 0.43\%$ 

\* 源重 500 毫克, 每源总计数约 50 万。

表 2 浓集铀样品测定结果\*

| 丰 度 比 值             |                     | 相对于质谱法的<br>准确度, % |
|---------------------|---------------------|-------------------|
| 质 谱 法               | $\gamma$ 谱 仪 法      |                   |
| 1.0202 $\pm$ 0.0015 | 1.0218 $\pm$ 0.0043 | +0.15             |
| 1.0202 $\pm$ 0.0015 | 1.0231 $\pm$ 0.0043 | +0.28             |
| 1.0101 $\pm$ 0.0015 | 1.0082 $\pm$ 0.0043 | -0.19             |
| 1.0101 $\pm$ 0.0015 | 1.0126 $\pm$ 0.0043 | +0.25             |

\* 参比样品用天然铀。

图 3 表明  $^{234}Th$  增长的情况。图中  $G_1$  表示第一天去  $^{234}Th$  后所制得的源的计数,  $G_2, G_3, \dots$  依次表示第二天, 第三天,  $\dots$  所制得的源的计数;  $G_1/G_2, G_1/G_3, \dots$  表示  $G_1$  相对于  $G_2$  增长了一天的  $^{234}Th$ , 相对于  $G_3$  增长了两天的  $^{234}Th$ ,  $\dots$ 。 $^{234}Th$  多长一天会增加计数约 2%, 故在低浓集度(如 1%)的情况下, 会使测量结果随  $^{234}Th$  的增长而愈益偏低。

2.  $^{238}U$  的子体  $^{234}Pa$  有硬  $\beta$ , 能量为 2.3 兆电子伏, 当它与物质(包括样品本身、铅室等)相互作用时会产生连续谱的轫致辐射, 其中一部分一定会与  $^{238}U$  的 184 千电子伏峰迭加, 在精确测量时将有干扰。可从理论上作出估计, 进行校正(在本工作的情况下不必校正)。为了减少轫致辐射, 样品盘用有机玻璃制成, 铅室内壁用铝或有机玻璃衬托, 探头的其他部份也尽量采用原子序数小的材料为好。

3. 考虑到交换柱在反复使用过程中可能由于逐次回收  $^{234}Th$  不够完全而造成在柱上的  $^{234}Th$  的积累, 以致产生对  $^{235}U$  分析结果的影响。为此我们做了以下实验:

称取 10 克天然平衡铀样品, 用阳离子交换法将其子体收集起来, 併入 1 克天然铀的试

表 2。从表中可以看到, 其准确度相对于质谱法为 2~3%, 小于本方法的统计误差(0.43%)。

### 三、讨 论

1. 在去  $^{234}Th$  后的 1~2 天内进行测量, 结果较好。如时间再延长, 则由于  $^{234}Th$  的增长, 渐渐地愈益干扰  $^{235}U$  184 千电子伏峰的计数。

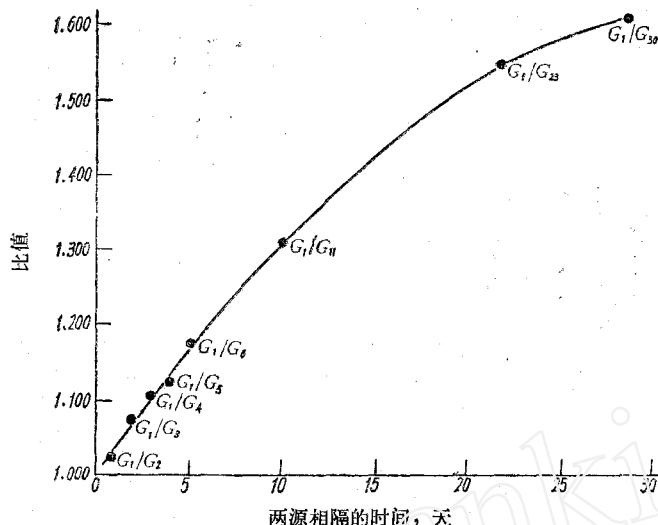


图 3  $^{234}\text{Th}$  的增长情况

样(B)中, 将它与 1 克天然铀样品(A)作同样去 $^{234}\text{Th}$ 处理, 对这两种样品进行对比测量, 考察这额外 $^{234}\text{Th}$ 的存在对分析结果的影响。测量结果如下:

| $A_1/B_1$ | $A_1/B_2$ | $A_2/B_1$ | $A_2/B_2$ | $(A_1+A_2)/(B_1+B_2)$ |
|-----------|-----------|-----------|-----------|-----------------------|
| 1.005     | 1.001     | 1.000     | 0.996     | 1.001                 |

结果表明, 即使在子体 $^{234}\text{Th}$ 多至平衡量 10 倍的情况下, 采用所述方法去 $^{234}\text{Th}$ 也不会增加分析结果的误差。

黎乐民同志对制源工作提出了改进方法。周志成同志对仪器的改进做了许多工作。李坤、涂洁莹、原思训、王文清、郭花捷、牟西茹、伊敏和王祥云等同志参与了工作并进行了有益的讨论。

#### 参 考 文 献

- [1] Ren Chiba et al., J. Nucl. Sci. Tech., 6, 45 (1969).  
[2] 李坤、王德民等, 原子能科学技术, 5, 377 (1963).

(上接第 276 页)

(Ph' 染色体); ……。但是, 还没有看到染色体畸变的细胞转化成癌细胞的直接证据。还搞不清楚先有染色体畸变而后导致了癌变呢, 还是染色体畸变可作为恶性肿瘤的伴随病理改变。所以, 今天人们尚不能仅仅依据染色体畸变率的增加而诊断为放射损伤, 更不能以此做出可发生远期效应和遗传效应的推断。

近年来荧光染色和 Giemsa 分带技术的创建, 为深入研究染色体畸变提供了可能。随着分子生物学的发展, 人们必将彻底掌握染色体在遗传和生命中的作用。